

Авторы и права: Ванг Хао; Обработка: Сонг Вентао
Перевод: Д.Ю.Цветков

Чем отличаются эти две полоски? Полоса сверху справа – комета Цыцзиньшань-ATLAS и ее впечатляющий пылевой хвост. Комета – большой грязный айсберг, влетающий во внутреннюю область Солнечной системы, он нагревается излучением Солнца и выбрасывает газ и пыль. Полоска внизу слева – метеор и его эффектный след. Метеор – маленькая холодная песчинка, влетающая в земную атмосферу. Она нагревается в результате столкновений с молекулами и испаряется, выбрасывая газ и пыль. Вероятно, метеор ранее был частью кометы или астероида, а возможно, входил в состав хвоста кометы. Вспышка метеора длится недолго, она была случайно запечатлена на серии экспозиций, целью которых был длинный хвост кометы. Изображение было получено более месяца назад из провинции Сычуань в Китае.

Источник: <https://www.astronet.ru/db/apod.html> (опубликовано 27.11.2024)

«АстроКА» Календарь наблюдателя № 05 (272) Май 2025 года

© Козловский А.Н. (<http://moscowaleks.narod.ru> - «Галактика» и <http://astrogalaxy.ru> - «Астрогалактика»); данные сайты созданы совместно с Кременчужским Александром)
Издается с 2002 года. С 2004 года - серия «Астробиблиотека», с 2006 года – приложение к журналу «Небосвод».
Календарь наблюдателя выкладывается в сети на Интернет-ресурсе <http://www.astronet.ru/>
Источники данных: [GUIDE 8.0](#) (карты путей комет, астероидов и их эфемериды, Луна), Occult v4.0 (эфемериды планет и спутников Юпитера, краткий календарь), <http://www.calsky.com/> (Солнце), Astronomy Lab 2.03 (график спутников Юпитера), <http://www.imo.net> (метеоры), [AAVSO](#) (переменные звезды), <http://lenta.ru/> (новости).

Время приводится всемирное (UT). Таблицы - для $\phi=56$ и $\lambda=0$. Координаты небесных тел указаны на 0 часов UT. Ваши пожелания будут учитываться в последующих выпусках. Копирование разрешается. При перепечатке ссылка обязательна. (Первый e-mail sev_kip2@samaratransgaz.gazprom.ru).

Набрано в 2025 году



В этом номере:

1. Планеты месяца.
2. Астероиды.
3. Луна. Солнце. Соединения Луны с планетами.
4. Астрономические события месяца
6. Конфигурации спутников Юпитера.
7. Кометы.
8. Новости астрономии

ПЛАНЕТЫ МЕСЯЦА

| Меркурий | Пр. восх. | Склонение | Расстояние | dia | mag | Elong | I | фаза | Limb | De | Pp |
|---------------|-------------|-------------|------------|------|------|-------|-----|-------|-------|-----|-----|
| год мес д | h m s | ° ' " | AU | " | | ° | ° | | ° | ° | ° |
| 2025 May 1 | 1 0 18.72 | 3 18 54.3 | 0.992407 | 6.7 | 0.0 | 25.5w | 79 | 59.4 | 61.3 | -1 | 332 |
| 2025 May 4 | 1 15 55.73 | 4 58 52.4 | 1.038923 | 6.4 | -0.1 | 24.2w | 74 | 63.9 | 61.6 | -1 | 332 |
| 2025 May 7 | 1 32 40.27 | 6 48 3.6 | 1.085153 | 6.2 | -0.2 | 22.5w | 68 | 68.4 | 62.1 | 0 | 332 |
| 2025 May 10 | 1 50 34.95 | 8 45 3.0 | 1.130581 | 5.9 | -0.4 | 20.6w | 62 | 73.1 | 62.8 | 0 | 333 |
| 2025 May 13 | 2 9 44.56 | 10 48 15.4 | 1.174468 | 5.7 | -0.5 | 18.3w | 56 | 78.1 | 63.9 | 0 | 334 |
| 2025 May 16 | 2 30 15.48 | 12 55 45.8 | 1.215761 | 5.5 | -0.7 | 15.8w | 49 | 83.1 | 65.3 | 1 | 335 |
| 2025 May 19 | 2 52 14.59 | 15 5 6.9 | 1.253005 | 5.3 | -1.0 | 12.9w | 40 | 88.2 | 67.2 | 1 | 336 |
| 2025 May 22 | 3 15 47.20 | 17 13 4.8 | 1.284306 | 5.2 | -1.3 | 9.7w | 31 | 93.0 | 69.9 | 1 | 338 |
| 2025 May 25 | 3 40 53.93 | 19 15 29.1 | 1.307413 | 5.1 | -1.7 | 6.3w | 20 | 96.9 | 73.9 | 1 | 340 |
| 2025 May 28 | 4 7 26.68 | 21 7 16.5 | 1.320030 | 5.1 | -2.1 | 2.7w | 9 | 99.4 | 83.4 | 2 | 342 |
| 2025 May 31 | 4 35 5.30 | 22 43 1.6 | 1.320374 | 5.1 | -2.4 | 1.2e | 4 | 99.9 | 227.1 | 2 | 345 |
| Венера | | | | | | | | | | | |
| 2025 May 1 | 23 57 32.91 | 0 55 43.2 | 0.457313 | 36.8 | -4.7 | 40.7w | 115 | 28.9 | 67.8 | -2 | 337 |
| 2025 May 6 | 0 10 0.24 | 1 26 32.3 | 0.494133 | 34.0 | -4.7 | 42.5w | 110 | 32.8 | 66.9 | -1 | 337 |
| 2025 May 11 | 0 23 59.00 | 2 13 34.4 | 0.532175 | 31.6 | -4.7 | 43.8w | 106 | 36.5 | 66.3 | -1 | 337 |
| 2025 May 16 | 0 39 12.93 | 3 14 13.3 | 0.571113 | 29.5 | -4.6 | 44.8w | 102 | 39.9 | 66.0 | 0 | 337 |
| 2025 May 21 | 0 55 29.48 | 4 25 59.1 | 0.610659 | 27.5 | -4.6 | 45.4w | 98 | 43.1 | 65.9 | 0 | 338 |
| 2025 May 26 | 1 12 38.96 | 5 46 26.6 | 0.650570 | 25.9 | -4.5 | 45.7w | 94 | 46.1 | 66.1 | 1 | 338 |
| 2025 May 31 | 1 30 34.02 | 7 13 17.7 | 0.690664 | 24.4 | -4.5 | 45.9w | 91 | 49.0 | 66.4 | 1 | 339 |
| Марс | | | | | | | | | | | |
| 2025 May 1 | 8 32 27.35 | 20 53 27.6 | 1.421779 | 6.6 | 0.9 | 84.7e | 37 | 89.9 | 284.0 | 16 | 354 |
| 2025 May 6 | 8 41 59.08 | 20 12 38.4 | 1.467766 | 6.4 | 1.0 | 82.2e | 37 | 90.0 | 284.7 | 17 | 355 |
| 2025 May 11 | 8 51 43.55 | 19 29 9.0 | 1.513106 | 6.2 | 1.1 | 79.8e | 37 | 90.1 | 285.4 | 18 | 357 |
| 2025 May 16 | 9 1 38.68 | 18 43 1.1 | 1.557741 | 6.0 | 1.1 | 77.4e | 36 | 90.2 | 286.1 | 18 | 359 |
| 2025 May 21 | 9 11 42.94 | 17 54 16.2 | 1.601627 | 5.8 | 1.2 | 75.1e | 36 | 90.4 | 286.7 | 19 | 0 |
| 2025 May 26 | 9 21 55.24 | 17 2 55.3 | 1.644705 | 5.7 | 1.2 | 72.9e | 36 | 90.6 | 287.4 | 20 | 2 |
| 2025 May 31 | 9 32 14.56 | 16 9 0.9 | 1.686879 | 5.5 | 1.3 | 70.7e | 35 | 90.8 | 288.0 | 21 | 3 |
| Юпитер | | | | | | | | | | | |
| 2025 May 1 | 5 20 58.82 | 22 53 40.8 | 5.847697 | 33.7 | -1.8 | 40.5e | 7 | 99.6 | 266.4 | 2 | 357 |
| 2025 May 11 | 5 29 53.36 | 23 2 15.4 | 5.945836 | 33.1 | -1.8 | 32.9e | 6 | 99.7 | 267.3 | 2 | 358 |
| 2025 May 21 | 5 39 11.49 | 23 9 3.8 | 6.026579 | 32.7 | -1.8 | 25.4e | 5 | 99.8 | 268.4 | 2 | 359 |
| 2025 May 31 | 5 48 47.67 | 23 13 49.4 | 6.088857 | 32.3 | -1.8 | 18.0e | 3 | 99.9 | 269.4 | 2 | 360 |
| Сатурн | | | | | | | | | | | |
| 2025 May 1 | 23 54 0.28 | - 2 49 51.8 | 10.305265 | 16.2 | 1.2 | 43.1w | 4 | 99.9 | 64.4 | -2 | 4 |
| 2025 May 11 | 23 57 35.75 | - 2 28 30.1 | 10.182813 | 16.4 | 1.2 | 51.8w | 5 | 99.8 | 64.9 | -2 | 4 |
| 2025 May 21 | 0 0 48.57 | - 2 9 50.0 | 10.044807 | 16.6 | 1.1 | 60.6w | 5 | 99.8 | 65.4 | -3 | 4 |
| 2025 May 31 | 0 3 35.29 | - 1 54 13.4 | 9.894181 | 16.8 | 1.1 | 69.4w | 6 | 99.8 | 65.8 | -3 | 4 |
| Уран | | | | | | | | | | | |
| 2025 May 1 | 3 34 47.97 | 19 2 6.4 | 20.502181 | 3.3 | 5.8 | 15.4e | 1 | 100.0 | 257.2 | 67 | 276 |
| 2025 May 11 | 3 37 9.52 | 19 10 15.3 | 20.534548 | 3.3 | 5.8 | 6.3e | 0 | 100.0 | 258.5 | 68 | 277 |
| 2025 May 21 | 3 39 33.23 | 19 18 22.8 | 20.540243 | 3.3 | 5.8 | 2.7w | 0 | 100.0 | 72.3 | 68 | 278 |
| 2025 May 31 | 3 41 56.42 | 19 26 19.7 | 20.519142 | 3.3 | 5.8 | 11.8w | 1 | 100.0 | 76.0 | 69 | 278 |
| Нептун | | | | | | | | | | | |
| 2025 May 1 | 0 4 46.35 | - 0 52 29.5 | 30.658160 | 2.4 | 7.9 | 39.8w | 1 | 100.0 | 65.0 | -20 | 317 |
| 2025 May 11 | 0 5 50.75 | - 0 45 54.8 | 30.541030 | 2.4 | 7.9 | 49.2w | 1 | 100.0 | 65.5 | -19 | 317 |
| 2025 May 21 | 0 6 46.68 | - 0 40 18.4 | 30.405715 | 2.4 | 7.9 | 58.6w | 2 | 100.0 | 65.8 | -19 | 317 |
| 2025 May 31 | 0 7 32.96 | - 0 35 47.4 | 30.255727 | 2.4 | 7.9 | 68.0w | 2 | 100.0 | 66.0 | -19 | 317 |

Обозначения: Пр. восх. – прямое восхождение (2000.0), Склонение – склонение (2000.0), Расстояние – геоцентрическое расстояние от Земли до планеты в астрономических единицах, dia – видимый диаметр в секундах дуги, mag – звездная величина, Elong – видимое угловое удаление (элонгация) от Солнца в градусах, I – фазовый угол (угол при центре планеты между направлениями на Солнце и Землю), Фаза – величина освещенной части диска планеты (от 0 до 100%), Limb – позиционный угол средней точки светлого лимба в градусах (отсчитывается от точки севера против часовой стрелки от 0° до 360°), De – угол наклона оси планеты к картинной плоскости перпендикулярной лучу зрения в градусах, причем знак указывает наклон северного «+» или южного «-» полюса планеты к Земле (для Сатурна это также наклон колец), Pp – позиционный угол северного полюса планеты по отношению к полюсу мира в градусах (отсчитывается при центре планеты против часовой стрелки от 0° до 360°).

Астероиды в мае 2025 года

(с блеском около 10m и ярче)

Церера (1)

| Дата | $\alpha(2000.0)$ | $\delta(2000.0)$ | r | Δ | m | elon. | V | PA | con. |
|-------------|------------------|------------------|-------|----------|-----|-------|-------|------|------|
| 1 May 2025 | 23h53m20.59s | S10 10.591' | 2.984 | 3.582 | 9.3 | 46.8 | 51.50 | 71.2 | Aqr |
| 6 May 2025 | 23h59m51.04s | S 9 37.920' | 2.983 | 3.532 | 9.3 | 43.9 | 50.44 | 71.6 | Cet |
| 11 May 2025 | 0h06m13.39s | S 9 06.571' | 2.983 | 3.480 | 9.3 | 53.0 | 49.31 | 72.0 | Cet |
| 16 May 2025 | 0h12m27.22s | S 8 36.654' | 2.982 | 3.425 | 9.3 | 56.1 | 48.09 | 72.4 | Cet |
| 21 May 2025 | 0h18m31.95s | S 8 08.290' | 2.981 | 3.368 | 9.3 | 59.3 | 46.78 | 72.9 | Cet |
| 26 May 2025 | 0h24m26.84s | S 7 41.625' | 2.981 | 3.309 | 9.3 | 62.5 | 45.33 | 73.6 | Cet |
| 31 May 2025 | 0h30m10.98s | S 7 16.807' | 2.980 | 3.248 | 9.2 | 65.8 | 43.75 | 74.3 | Cet |

Веста (4)

| | | | | | | | | | |
|-------------|--------------|-------------|-------|-------|-----|-------|-------|-------|-----|
| 1 May 2025 | 14h52m48.91s | S 4 16.649' | 2.180 | 1.184 | 5.6 | 168.2 | 37.59 | 280.9 | Lib |
| 6 May 2025 | 14h47m58.87s | S 4 04.263' | 2.177 | 1.181 | 5.6 | 167.6 | 37.71 | 278.0 | Lib |
| 11 May 2025 | 14h43m10.60s | S 3 55.871' | 2.174 | 1.184 | 5.7 | 164.5 | 36.58 | 274.9 | Vir |
| 16 May 2025 | 14h38m34.20s | S 3 51.961' | 2.172 | 1.193 | 5.8 | 160.2 | 34.34 | 271.3 | Vir |
| 21 May 2025 | 14h34m18.85s | S 3 52.866' | 2.169 | 1.208 | 5.8 | 155.3 | 31.16 | 266.9 | Vir |
| 26 May 2025 | 14h30m32.75s | S 3 58.792' | 2.167 | 1.228 | 5.9 | 150.2 | 27.24 | 261.1 | Vir |
| 31 May 2025 | 14h27m22.97s | S 4 09.802' | 2.165 | 1.254 | 6.0 | 145.2 | 22.94 | 253.0 | Vir |

Геба (6)

| | | | | | | | | | |
|-------------|--------------|-------------|-------|-------|------|------|-------|------|-----|
| 1 May 2025 | 21h29m05.89s | S 8 39.847' | 2.271 | 2.241 | 10.3 | 78.8 | 56.15 | 77.6 | Cap |
| 6 May 2025 | 21h36m22.89s | S 8 16.151' | 2.260 | 2.172 | 10.2 | 81.8 | 54.49 | 77.9 | Aqr |
| 11 May 2025 | 21h43m26.62s | S 7 53.728' | 2.249 | 2.103 | 10.2 | 84.8 | 52.71 | 78.2 | Aqr |
| 16 May 2025 | 21h50m16.21s | S 7 32.894' | 2.237 | 2.034 | 10.1 | 87.9 | 50.76 | 78.8 | Aqr |
| 21 May 2025 | 21h56m50.46s | S 7 14.007' | 2.226 | 1.965 | 10.0 | 91.0 | 48.60 | 79.6 | Aqr |
| 26 May 2025 | 22h03m07.88s | S 6 57.478' | 2.215 | 1.896 | 9.9 | 94.3 | 46.20 | 80.6 | Aqr |
| 31 May 2025 | 22h09m06.78s | S 6 43.760' | 2.204 | 1.828 | 9.8 | 97.6 | 43.58 | 82.1 | Aqr |

Ирида (7)

| | | | | | | | | | |
|-------------|-------------|-------------|-------|-------|-----|------|-------|------|-----|
| 1 May 2025 | 3h13m06.61s | N19 22.349' | 1.845 | 2.825 | 9.6 | 10.7 | 93.89 | 77.1 | Ari |
| 6 May 2025 | 3h26m01.25s | N20 02.597' | 1.848 | 2.838 | 9.5 | 8.9 | 93.69 | 78.1 | Ari |
| 11 May 2025 | 3h39m00.19s | N20 39.421' | 1.851 | 2.849 | 9.5 | 7.2 | 93.45 | 79.2 | Tau |
| 16 May 2025 | 3h52m02.85s | N21 12.670' | 1.855 | 2.859 | 9.4 | 5.5 | 93.18 | 80.3 | Tau |
| 21 May 2025 | 4h05m08.60s | N21 42.211' | 1.859 | 2.868 | 9.4 | 3.7 | 92.89 | 81.4 | Tau |
| 26 May 2025 | 4h18m16.70s | N22 07.924' | 1.864 | 2.876 | 9.3 | 2.0 | 92.56 | 82.6 | Tau |
| 31 May 2025 | 4h31m26.10s | N22 29.699' | 1.869 | 2.883 | 9.2 | 0.6 | 92.17 | 83.8 | Tau |

Мегида (9)

| | | | | | | | | | |
|-------------|--------------|-------------|-------|-------|------|-------|-------|-------|-----|
| 1 May 2025 | 15h16m05.43s | S14 36.754' | 2.636 | 1.639 | 9.8 | 169.4 | 37.07 | 278.6 | Lib |
| 6 May 2025 | 15h11m03.55s | S14 25.556' | 2.639 | 1.633 | 9.7 | 174.9 | 38.23 | 278.5 | Lib |
| 11 May 2025 | 15h05m56.65s | S14 14.456' | 2.642 | 1.633 | 9.6 | 176.2 | 38.31 | 278.2 | Lib |
| 16 May 2025 | 15h00m53.17s | S14 03.899' | 2.645 | 1.641 | 9.8 | 171.3 | 37.36 | 277.9 | Lib |
| 21 May 2025 | 14h56m01.19s | S13 54.335' | 2.648 | 1.656 | 9.9 | 165.5 | 35.42 | 277.3 | Lib |
| 26 May 2025 | 14h51m28.26s | S13 46.220' | 2.650 | 1.677 | 10.1 | 159.7 | 32.56 | 276.5 | Lib |
| 31 May 2025 | 14h47m21.30s | S13 39.991' | 2.653 | 1.704 | 10.2 | 154.0 | 28.91 | 275.3 | Lib |

Desiderata (344)

| | | | | | | | | | |
|-------------|--------------|-------------|-------|-------|------|-------|-------|-------|-----|
| 1 May 2025 | 16h35m36.54s | S27 05.240' | 1.942 | 1.008 | 10.4 | 148.9 | 43.39 | 205.6 | Sco |
| 6 May 2025 | 16h32m27.34s | S28 24.255' | 1.929 | 0.971 | 10.2 | 153.9 | 47.62 | 212.4 | Sco |
| 11 May 2025 | 16h28m16.89s | S29 44.927' | 1.916 | 0.939 | 10.0 | 158.7 | 51.58 | 218.0 | Sco |
| 16 May 2025 | 16h23m09.53s | S31 05.861' | 1.904 | 0.913 | 9.9 | 163.1 | 54.81 | 222.6 | Sco |
| 21 May 2025 | 16h17m12.72s | S32 25.416' | 1.892 | 0.893 | 9.7 | 166.3 | 56.92 | 226.6 | Sco |
| 26 May 2025 | 16h10m37.86s | S33 41.863' | 1.881 | 0.879 | 9.7 | 167.4 | 57.50 | 229.9 | Sco |
| 31 May 2025 | 16h03m40.76s | S34 53.619' | 1.870 | 0.871 | 9.7 | 165.6 | 56.31 | 232.5 | Lup |

Обозначения для комет и астероидов: α – прямое восхождение для эпохи 2000.0, δ – склонение для эпохи 2000.0, r – расстояние от Солнца, Δ – расстояние от Земли, m – звездная величина, elon. – элонгация, V – угловая скорость (секунд в час), PA – позиционный угол направления движения небесного тела, con. – созвездие

Кометы в мае 2025 года

(с блеском до 11m, причем блеск может отличаться от предсказанного до нескольких звездных величин)

Комета Swift (D/1895 Q1)

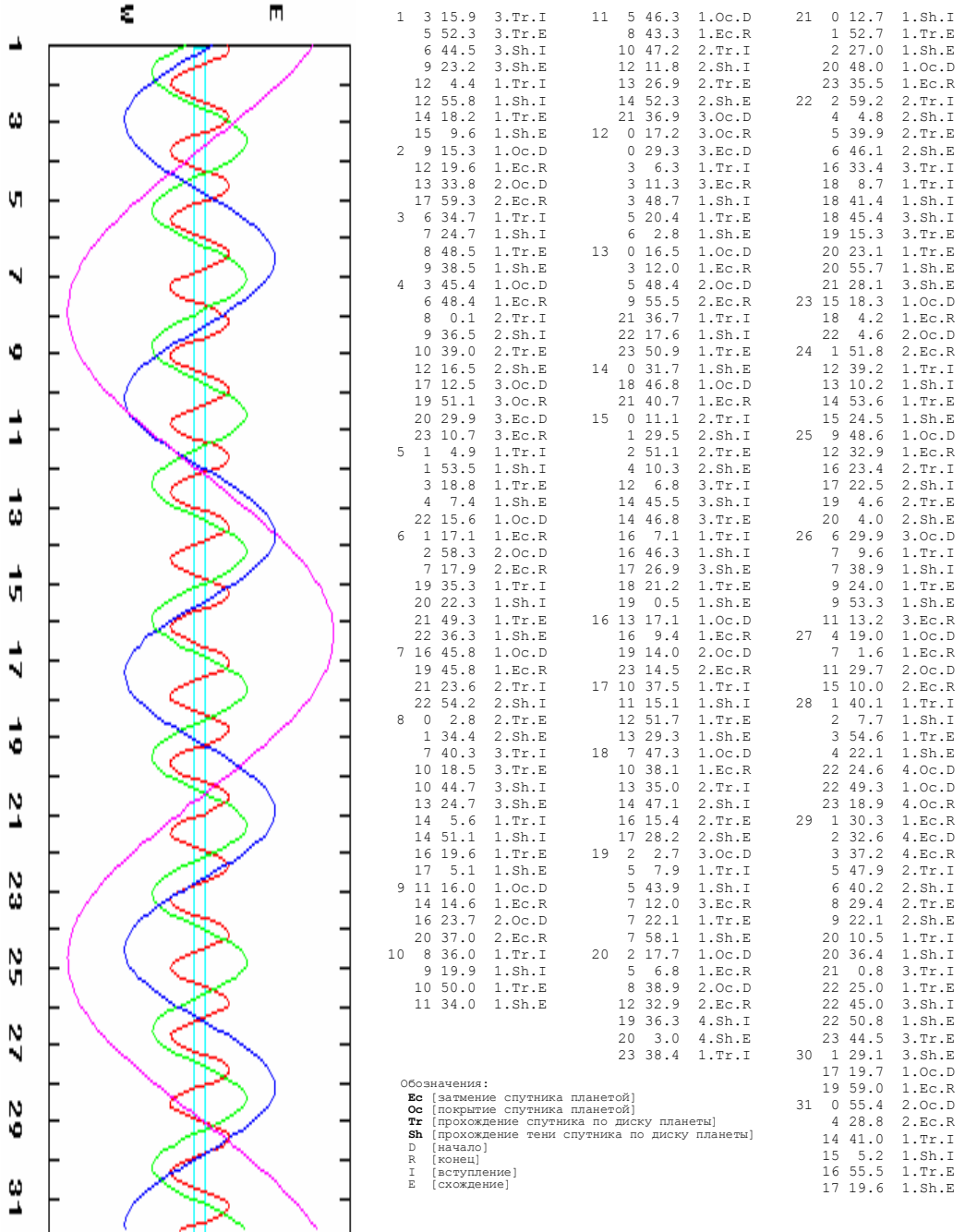
| Дата | $\alpha(2000.0)$ | $\delta(2000.0)$ | r | Δ | m | elon. | V | PA | con |
|-------------|------------------|------------------|-------|----------|------|-------|-------|------|-----|
| 1 May 2025 | 19h12m10.30s | S 5 54.970' | 1.965 | 1.365 | 12.6 | 110.9 | 53.44 | 73.3 | Aql |
| 2 May 2025 | 19h13m33.13s | S 5 48.784' | 1.958 | 1.350 | 12.6 | 111.4 | 53.17 | 73.2 | Aql |
| 3 May 2025 | 19h14m55.49s | S 5 42.592' | 1.951 | 1.335 | 12.5 | 112.0 | 52.88 | 73.1 | Aql |
| 4 May 2025 | 19h16m17.38s | S 5 36.397' | 1.944 | 1.319 | 12.5 | 112.6 | 52.60 | 73.0 | Aql |
| 5 May 2025 | 19h17m38.79s | S 5 30.204' | 1.937 | 1.304 | 12.4 | 113.2 | 52.30 | 72.9 | Aql |
| 6 May 2025 | 19h18m59.72s | S 5 24.015' | 1.930 | 1.289 | 12.4 | 113.7 | 52.00 | 72.8 | Aql |
| 7 May 2025 | 19h20m20.16s | S 5 17.835' | 1.923 | 1.274 | 12.4 | 114.3 | 51.70 | 72.7 | Aql |
| 8 May 2025 | 19h21m40.10s | S 5 11.669' | 1.916 | 1.259 | 12.3 | 114.9 | 51.38 | 72.7 | Aql |
| 9 May 2025 | 19h22m59.55s | S 5 05.519' | 1.909 | 1.244 | 12.3 | 115.4 | 51.06 | 72.6 | Aql |
| 10 May 2025 | 19h24m18.50s | S 4 59.391' | 1.903 | 1.230 | 12.2 | 116.0 | 50.73 | 72.5 | Aql |
| 11 May 2025 | 19h25m36.93s | S 4 53.289' | 1.896 | 1.215 | 12.2 | 116.6 | 50.40 | 72.5 | Aql |
| 12 May 2025 | 19h26m54.84s | S 4 47.218' | 1.889 | 1.200 | 12.2 | 117.2 | 50.05 | 72.5 | Aql |
| 13 May 2025 | 19h28m12.22s | S 4 41.182' | 1.882 | 1.186 | 12.1 | 117.7 | 49.70 | 72.5 | Aql |
| 14 May 2025 | 19h29m29.06s | S 4 35.187' | 1.875 | 1.172 | 12.1 | 118.3 | 49.33 | 72.5 | Aql |
| 15 May 2025 | 19h30m45.36s | S 4 29.238' | 1.869 | 1.157 | 12.0 | 118.9 | 48.96 | 72.5 | Aql |
| 16 May 2025 | 19h32m01.10s | S 4 23.340' | 1.862 | 1.143 | 12.0 | 119.5 | 48.57 | 72.5 | Aql |
| 17 May 2025 | 19h33m16.27s | S 4 17.500' | 1.855 | 1.129 | 11.9 | 120.0 | 48.17 | 72.5 | Aql |
| 18 May 2025 | 19h34m30.87s | S 4 11.722' | 1.848 | 1.115 | 11.9 | 120.6 | 47.76 | 72.6 | Aql |
| 19 May 2025 | 19h35m44.87s | S 4 06.015' | 1.842 | 1.102 | 11.9 | 121.2 | 47.34 | 72.7 | Aql |
| 20 May 2025 | 19h36m58.27s | S 4 00.384' | 1.835 | 1.088 | 11.8 | 121.8 | 46.90 | 72.7 | Aql |
| 21 May 2025 | 19h38m11.06s | S 3 54.836' | 1.828 | 1.074 | 11.8 | 122.4 | 46.45 | 72.9 | Aql |
| 22 May 2025 | 19h39m23.21s | S 3 49.379' | 1.822 | 1.061 | 11.7 | 123.0 | 45.99 | 73.0 | Aql |
| 23 May 2025 | 19h40m34.73s | S 3 44.021' | 1.815 | 1.048 | 11.7 | 123.5 | 45.52 | 73.1 | Aql |
| 24 May 2025 | 19h41m45.60s | S 3 38.769' | 1.808 | 1.034 | 11.6 | 124.1 | 45.03 | 73.3 | Aql |
| 25 May 2025 | 19h42m55.81s | S 3 33.631' | 1.802 | 1.021 | 11.6 | 124.7 | 44.53 | 73.5 | Aql |
| 26 May 2025 | 19h44m05.36s | S 3 28.617' | 1.795 | 1.008 | 11.6 | 125.3 | 44.02 | 73.8 | Aql |
| 27 May 2025 | 19h45m14.23s | S 3 23.735' | 1.789 | 0.995 | 11.5 | 125.9 | 43.51 | 74.0 | Aql |
| 28 May 2025 | 19h46m22.43s | S 3 18.992' | 1.782 | 0.982 | 11.5 | 126.5 | 42.98 | 74.3 | Aql |
| 29 May 2025 | 19h47m29.95s | S 3 14.399' | 1.776 | 0.970 | 11.4 | 127.1 | 42.45 | 74.7 | Aql |
| 30 May 2025 | 19h48m36.79s | S 3 09.964' | 1.769 | 0.957 | 11.4 | 127.7 | 41.91 | 75.0 | Aql |
| 31 May 2025 | 19h49m42.95s | S 3 05.697' | 1.763 | 0.945 | 11.3 | 128.3 | 41.37 | 75.4 | Aql |

Комета Brooks (D/1886 K1)

| | | | | | | | | | |
|-------------|--------------|-------------|-------|-------|------|-------|-------|-------|-----|
| 1 May 2025 | 15h11m42.12s | S20 30.435' | 1.933 | 0.934 | 11.7 | 169.1 | 34.08 | 232.3 | Lib |
| 2 May 2025 | 15h10m57.88s | S20 38.746' | 1.931 | 0.930 | 11.7 | 170.2 | 34.49 | 233.0 | Lib |
| 3 May 2025 | 15h10m12.68s | S20 47.026' | 1.929 | 0.927 | 11.7 | 171.2 | 34.86 | 233.7 | Lib |
| 4 May 2025 | 15h09m26.58s | S20 55.273' | 1.928 | 0.924 | 11.7 | 172.1 | 35.18 | 234.3 | Lib |
| 5 May 2025 | 15h08m39.70s | S21 03.482' | 1.926 | 0.921 | 11.7 | 173.0 | 35.45 | 234.8 | Lib |
| 6 May 2025 | 15h07m52.12s | S21 11.652' | 1.924 | 0.918 | 11.7 | 173.9 | 35.68 | 235.3 | Lib |
| 7 May 2025 | 15h07m03.93s | S21 19.779' | 1.923 | 0.916 | 11.6 | 174.6 | 35.85 | 235.7 | Lib |
| 8 May 2025 | 15h06m15.23s | S21 27.861' | 1.921 | 0.913 | 11.6 | 175.2 | 35.98 | 236.1 | Lib |
| 9 May 2025 | 15h05m26.11s | S21 35.895' | 1.919 | 0.911 | 11.6 | 175.6 | 36.06 | 236.4 | Lib |
| 10 May 2025 | 15h04m36.68s | S21 43.878' | 1.918 | 0.910 | 11.6 | 175.8 | 36.09 | 236.7 | Lib |
| 11 May 2025 | 15h03m47.02s | S21 51.807' | 1.916 | 0.908 | 11.6 | 175.6 | 36.07 | 237.0 | Lib |
| 12 May 2025 | 15h02m57.24s | S21 59.681' | 1.915 | 0.907 | 11.6 | 175.1 | 36.00 | 237.2 | Lib |
| 13 May 2025 | 15h02m07.44s | S22 07.497' | 1.914 | 0.906 | 11.6 | 174.5 | 35.87 | 237.4 | Lib |
| 14 May 2025 | 15h01m17.70s | S22 15.253' | 1.912 | 0.905 | 11.6 | 173.7 | 35.69 | 237.5 | Lib |
| 15 May 2025 | 15h00m28.15s | S22 22.947' | 1.911 | 0.904 | 11.6 | 172.9 | 35.47 | 237.6 | Lib |
| 16 May 2025 | 14h59m38.86s | S22 30.578' | 1.910 | 0.903 | 11.6 | 171.9 | 35.19 | 237.6 | Lib |
| 17 May 2025 | 14h58m49.95s | S22 38.145' | 1.908 | 0.903 | 11.6 | 171.0 | 34.86 | 237.6 | Lib |
| 18 May 2025 | 14h58m01.52s | S22 45.646' | 1.907 | 0.903 | 11.6 | 170.0 | 34.48 | 237.6 | Lib |
| 19 May 2025 | 14h57m13.65s | S22 53.081' | 1.906 | 0.903 | 11.6 | 168.9 | 34.05 | 237.5 | Lib |
| 20 May 2025 | 14h56m26.45s | S23 00.449' | 1.905 | 0.904 | 11.6 | 167.9 | 33.57 | 237.3 | Lib |
| 21 May 2025 | 14h55m40.03s | S23 07.750' | 1.904 | 0.904 | 11.6 | 166.9 | 33.05 | 237.1 | Lib |
| 22 May 2025 | 14h54m54.47s | S23 14.984' | 1.903 | 0.905 | 11.6 | 165.8 | 32.48 | 236.8 | Lib |
| 23 May 2025 | 14h54m09.88s | S23 22.153' | 1.902 | 0.906 | 11.6 | 164.8 | 31.86 | 236.5 | Lib |
| 24 May 2025 | 14h53m26.36s | S23 29.256' | 1.901 | 0.907 | 11.6 | 163.7 | 31.20 | 236.1 | Lib |
| 25 May 2025 | 14h52m44.00s | S23 36.295' | 1.900 | 0.909 | 11.6 | 162.7 | | | |

Конфигурации спутников Юпитера в мае (время всемирное - UT)

I - ИО, II - ЕВРОПА, III - ГАНИМЕД, IV - КАЛЛИСТО



| | | | | | | | | | | | | |
|----|----|------|--------|----|----|------|--------|--------|----|------|--------|--------|
| 1 | 3 | 15.9 | 3.Tr.I | 11 | 5 | 46.3 | 1.Oc.D | 21 | 0 | 12.7 | 1.Sh.I | |
| | 5 | 52.3 | 3.Tr.E | | 8 | 43.3 | 1.Ec.R | | 1 | 52.7 | 1.Tr.E | |
| | 6 | 44.5 | 3.Sh.I | | 10 | 47.2 | 2.Tr.I | | 2 | 27.0 | 1.Sh.E | |
| | 9 | 23.2 | 3.Sh.E | | 12 | 11.8 | 2.Sh.I | | 20 | 48.0 | 1.Oc.D | |
| | 12 | 4.4 | 1.Tr.I | | 13 | 26.9 | 2.Tr.E | | 23 | 35.5 | 1.Ec.R | |
| | 12 | 55.8 | 1.Sh.I | | 14 | 52.3 | 2.Sh.E | | 22 | 2 | 59.2 | 2.Tr.I |
| | 14 | 18.2 | 1.Tr.E | | 21 | 36.9 | 3.Oc.D | | 4 | 4.8 | 2.Sh.I | |
| | 15 | 9.6 | 1.Sh.E | | 12 | 0 | 17.2 | 3.Oc.R | | 5 | 39.9 | 2.Tr.E |
| 2 | 9 | 15.3 | 1.Oc.D | | 0 | 29.3 | 3.Ec.D | | 6 | 46.1 | 2.Sh.E | |
| | 12 | 19.6 | 1.Ec.R | | 3 | 6.3 | 1.Tr.I | | 16 | 33.4 | 3.Tr.I | |
| | 13 | 33.8 | 2.Oc.D | | 3 | 11.3 | 3.Ec.R | | 18 | 8.7 | 1.Tr.I | |
| | 17 | 59.3 | 2.Ec.R | | 3 | 48.7 | 1.Sh.I | | 18 | 41.4 | 1.Sh.I | |
| 3 | 6 | 34.7 | 1.Tr.I | | 5 | 20.4 | 1.Tr.E | | 18 | 45.4 | 3.Sh.I | |
| | 7 | 24.7 | 1.Sh.I | | 6 | 2.8 | 1.Sh.E | | 19 | 15.3 | 3.Tr.E | |
| | 8 | 48.5 | 1.Tr.E | | 13 | 0 | 16.5 | 1.Oc.D | | 20 | 23.1 | 1.Tr.E |
| | 9 | 38.5 | 1.Sh.E | | 3 | 12.0 | 1.Ec.R | | 20 | 55.7 | 1.Sh.E | |
| 4 | 3 | 45.4 | 1.Oc.D | | 5 | 48.4 | 2.Oc.D | | 21 | 28.1 | 3.Sh.E | |
| | 6 | 48.4 | 1.Ec.R | | 9 | 55.5 | 2.Ec.R | | 23 | 15 | 18.3 | 1.Oc.D |
| | 8 | 0.1 | 2.Tr.I | | 21 | 36.7 | 1.Tr.I | | 18 | 4.2 | 1.Ec.R | |
| | 9 | 36.5 | 2.Sh.I | | 22 | 17.6 | 1.Sh.I | | 22 | 4.6 | 2.Oc.D | |
| | 10 | 39.0 | 2.Tr.E | | 23 | 50.9 | 1.Tr.E | | 24 | 1 | 51.8 | 2.Ec.R |
| | 12 | 16.5 | 2.Sh.E | | 14 | 0 | 31.7 | 1.Sh.E | | 12 | 39.2 | 1.Tr.I |
| | 17 | 12.5 | 3.Oc.D | | 18 | 46.8 | 1.Oc.D | | 13 | 10.2 | 1.Sh.I | |
| | 19 | 51.1 | 3.Oc.R | | 21 | 40.7 | 1.Ec.R | | 14 | 53.6 | 1.Tr.E | |
| | 20 | 29.9 | 3.Ec.D | | 15 | 0 | 11.1 | 2.Tr.I | | 15 | 24.5 | 1.Sh.E |
| | 23 | 10.7 | 3.Ec.R | | 1 | 29.5 | 2.Sh.I | | 25 | 9 | 48.6 | 1.Oc.D |
| 5 | 1 | 4.9 | 1.Tr.I | | 2 | 51.1 | 2.Tr.E | | 12 | 32.9 | 1.Ec.R | |
| | 1 | 53.5 | 1.Sh.I | | 4 | 10.3 | 2.Sh.E | | 16 | 23.4 | 2.Tr.I | |
| | 3 | 18.8 | 1.Tr.E | | 12 | 6.8 | 3.Tr.I | | 17 | 22.5 | 2.Sh.I | |
| | 4 | 7.4 | 1.Sh.E | | 14 | 45.5 | 3.Sh.I | | 19 | 4.6 | 2.Tr.E | |
| | 22 | 15.6 | 1.Oc.D | | 14 | 46.8 | 3.Tr.E | | 20 | 4.0 | 2.Sh.E | |
| 6 | 1 | 17.1 | 1.Ec.R | | 16 | 7.1 | 1.Tr.I | | 26 | 6 | 29.9 | 3.Oc.D |
| | 2 | 58.3 | 2.Oc.D | | 16 | 46.3 | 1.Sh.I | | 7 | 9.6 | 1.Tr.I | |
| | 7 | 17.9 | 2.Ec.R | | 17 | 26.9 | 3.Sh.E | | 7 | 38.9 | 1.Sh.I | |
| | 19 | 35.3 | 1.Tr.I | | 18 | 21.2 | 1.Tr.E | | 9 | 24.0 | 1.Tr.E | |
| | 20 | 22.3 | 1.Sh.I | | 19 | 0.5 | 1.Sh.E | | 9 | 53.3 | 1.Sh.E | |
| | 21 | 49.3 | 1.Tr.E | | 16 | 13 | 17.1 | 1.Oc.D | | 11 | 13.2 | 3.Ec.R |
| | 22 | 36.3 | 1.Sh.E | | 16 | 9.4 | 1.Ec.R | | 27 | 4 | 19.0 | 1.Oc.D |
| 7 | 16 | 45.8 | 1.Oc.D | | 19 | 14.0 | 2.Oc.D | | 7 | 1.6 | 1.Ec.R | |
| | 19 | 45.8 | 1.Ec.R | | 23 | 14.5 | 2.Ec.R | | 11 | 29.7 | 2.Oc.D | |
| | 21 | 23.6 | 2.Tr.I | | 17 | 10 | 37.5 | 1.Tr.I | | 15 | 10.0 | 2.Ec.R |
| | 22 | 54.2 | 2.Sh.I | | 11 | 15.1 | 1.Sh.I | | 28 | 1 | 40.1 | 1.Tr.I |
| 8 | 0 | 2.8 | 2.Tr.E | | 12 | 51.7 | 1.Tr.E | | 2 | 7.7 | 1.Sh.I | |
| | 1 | 34.4 | 2.Sh.E | | 13 | 29.3 | 1.Sh.E | | 3 | 54.6 | 1.Tr.E | |
| | 7 | 40.3 | 3.Tr.I | | 18 | 7 | 47.3 | 1.Oc.D | | 4 | 22.1 | 1.Sh.E |
| | 10 | 18.5 | 3.Tr.E | | 10 | 38.1 | 1.Ec.R | | 22 | 24.6 | 4.Oc.D | |
| | 10 | 44.7 | 3.Sh.I | | 13 | 35.0 | 2.Tr.I | | 22 | 49.3 | 1.Oc.D | |
| | 13 | 24.7 | 3.Sh.E | | 14 | 47.1 | 2.Sh.I | | 23 | 18.9 | 4.Oc.R | |
| | 14 | 5.6 | 1.Tr.I | | 16 | 15.4 | 2.Tr.E | | 29 | 1 | 30.3 | 1.Ec.R |
| | 14 | 51.1 | 1.Sh.I | | 17 | 28.2 | 2.Sh.E | | 2 | 32.6 | 4.Ec.D | |
| | 16 | 19.6 | 1.Tr.E | | 19 | 2 | 7 | 3.Oc.D | | 3 | 37.2 | 4.Ec.R |
| | 17 | 5.1 | 1.Sh.E | | 5 | 7.9 | 1.Tr.I | | 5 | 47.9 | 2.Tr.I | |
| 9 | 11 | 16.0 | 1.Oc.D | | 5 | 43.9 | 1.Sh.I | | 6 | 40.2 | 2.Sh.I | |
| | 14 | 14.6 | 1.Ec.R | | 7 | 12.0 | 3.Ec.R | | 8 | 29.4 | 2.Tr.E | |
| | 16 | 23.7 | 2.Oc.D | | 7 | 22.1 | 1.Tr.E | | 9 | 22.1 | 2.Sh.E | |
| | 20 | 37.0 | 2.Ec.R | | 7 | 58.1 | 1.Sh.E | | 20 | 10.5 | 1.Tr.I | |
| 10 | 8 | 36.0 | 1.Tr.I | | 20 | 2 | 17.7 | 1.Oc.D | | 20 | 36.4 | 1.Sh.I |
| | 9 | 19.9 | 1.Sh.I | | 5 | 6.8 | 1.Ec.R | | 21 | 0.8 | 3.Tr.I | |
| | 10 | 50.0 | 1.Tr.E | | 8 | 38.9 | 2.Oc.D | | 22 | 25.0 | 1.Tr.E | |
| | 11 | 34.0 | 1.Sh.E | | 12 | 32.9 | 2.Ec.R | | 22 | 45.0 | 3.Sh.I | |
| | | | | | 19 | 36.3 | 4.Sh.I | | 22 | 50.8 | 1.Sh.E | |
| | | | | | 20 | 3.0 | 4.Sh.E | | 23 | 44.5 | 3.Tr.E | |
| | | | | | 23 | 38.4 | 1.Tr.I | | 30 | 1 | 29.1 | 3.Sh.E |
| | | | | | | | | | 17 | 19.7 | 1.Oc.D | |
| | | | | | | | | | 19 | 59.0 | 1.Ec.R | |
| | | | | | | | | | 22 | 55.4 | 2.Oc.D | |
| | | | | | | | | | 4 | 28.8 | 2.Ec.R | |
| | | | | | | | | | 14 | 41.0 | 1.Tr.I | |
| | | | | | | | | | 15 | 5.2 | 1.Sh.I | |
| | | | | | | | | | 16 | 55.5 | 1.Tr.E | |
| | | | | | | | | | 17 | 19.6 | 1.Sh.E | |

Обозначения:
Ec [затмение спутника планетой]
Oc [покрытие спутника планетой]
Tr [прохождение спутника по диску планеты]
Sh [прохождение тени спутника по диску планеты]
D [начало]
R [конец]
I [вступление]
E [схождение]

Луна в мае 2025 года

| Дата | α (2000.0) | δ (2000.0) | R (км.) | m | Элонг | Фаза | Созв |
|-------------|-------------------|-------------------|---------|-------|-------|------|------|
| 1 May 2025 | 5h36m32.36s | N27 35.087' | 366709 | -9.5 | 44.4 | 14.3 | Tau |
| 2 May 2025 | 6h40m39.77s | N27 15.080' | 371791 | -10.3 | 57.6 | 23.3 | Gem |
| 3 May 2025 | 7h41m24.61s | N25 10.222' | 377379 | -10.8 | 70.4 | 33.4 | Gem |
| 4 May 2025 | 8h37m34.05s | N21 41.766' | 383019 | -11.3 | 82.8 | 43.8 | Cnc |
| 5 May 2025 | 9h29m04.30s | N17 12.795' | 388334 | -11.6 | 94.7 | 54.2 | Leo |
| 6 May 2025 | 10h16m37.58s | N12 03.689' | 393050 | -11.9 | 106.3 | 64.2 | Leo |
| 7 May 2025 | 11h01m16.83s | N 6 30.843' | 396993 | -12.1 | 117.6 | 73.3 | Leo |
| 8 May 2025 | 11h44m09.98s | N 0 47.296' | 400084 | -12.2 | 128.7 | 81.4 | Vir |
| 9 May 2025 | 12h26m23.02s | S 4 55.994' | 402317 | -12.4 | 139.7 | 88.2 | Vir |
| 10 May 2025 | 13h08m57.86s | S10 28.858' | 403735 | -12.5 | 150.5 | 93.6 | Vir |
| 11 May 2025 | 13h52m51.14s | S15 40.836' | 404407 | -12.5 | 161.2 | 97.3 | Vir |
| 12 May 2025 | 14h38m51.62s | S20 20.451' | 404405 | -12.6 | 171.2 | 99.4 | Lib |
| 13 May 2025 | 15h27m34.34s | S24 14.974' | 403785 | -12.6 | 173.7 | 99.7 | Lib |
| 14 May 2025 | 16h19m11.42s | S27 10.922' | 402580 | -12.6 | 164.4 | 98.2 | Scor |
| 15 May 2025 | 17h13m22.68s | S28 55.516' | 400794 | -12.5 | 153.7 | 94.8 | Oph |
| 16 May 2025 | 18h09m13.39s | S29 18.919' | 398413 | -12.4 | 142.6 | 89.8 | Sgr |
| 17 May 2025 | 19h05m26.24s | S28 16.459' | 395416 | -12.3 | 131.3 | 83.1 | Sgr |
| 18 May 2025 | 20h00m45.79s | S25 49.685' | 391799 | -12.1 | 119.8 | 74.9 | Sgr |
| 19 May 2025 | 20h54m22.70s | S22 05.684' | 387597 | -11.9 | 108.0 | 65.6 | Cap |
| 20 May 2025 | 21h46m05.41s | S17 15.318' | 382909 | -11.7 | 95.9 | 55.3 | Cap |
| 21 May 2025 | 22h36m17.87s | S11 31.603' | 377917 | -11.3 | 83.5 | 44.5 | Aqr |
| 22 May 2025 | 23h25m50.55s | S 5 09.101' | 372898 | -10.9 | 70.7 | 33.6 | Aqr |
| 23 May 2025 | 0h15m51.07s | N 1 35.548' | 368216 | -10.3 | 57.5 | 23.2 | Psc |
| 24 May 2025 | 1h07m35.72s | N 8 22.382' | 364291 | -9.5 | 44.0 | 14.1 | Psc |
| 25 May 2025 | 2h02m19.10s | N14 46.970' | 361543 | -8.3 | 30.2 | 6.8 | Ari |
| 26 May 2025 | 3h00m56.29s | N20 20.535' | 360316 | -6.3 | 16.3 | 2.0 | Ari |
| 27 May 2025 | 4h03m34.58s | N24 32.729' | 360812 | -1.9 | 4.2 | 0.1 | Tau |
| 28 May 2025 | 5h09m04.89s | N26 57.915' | 363040 | -5.5 | 12.7 | 1.2 | Tau |
| 29 May 2025 | 6h15m02.87s | N27 23.224' | 366807 | -7.8 | 26.1 | 5.1 | Gem |
| 30 May 2025 | 7h18m40.77s | N25 53.207' | 371754 | -9.1 | 39.3 | 11.4 | Gem |
| 31 May 2025 | 8h17m57.90s | N22 46.867' | 377422 | -9.9 | 52.1 | 19.4 | Cnc |

Обозначения: α (2000,0) и δ (2000,0) - координаты Луны на 0 часов UT, R (км.) - расстояние до Луны в километрах, m - звездная величина, Элонг - угловое расстояние от Солнца, Созв - созвездие.

Солнце в мае 2025 года ($\phi=56^\circ, \lambda=0^\circ$)

| Д | α (2000.0) | δ (2000.0) | созв | диам | Восход | ВК | Вс | заход |
|----|-------------------|-------------------|------|-------|--------|--------|----|--------|
| 1 | 2:32:25.9 | +14:58:29 | Ari | 31.75 | 4h16m | 11h57m | 49 | 19h40m |
| 6 | 2:51:38.3 | +16:26:26 | Ari | 31.71 | 4h05m | 11h57m | 51 | 19h50m |
| 11 | 3:11:04.3 | +17:47:32 | Ari | 31.68 | 3h54m | 11h56m | 52 | 20h00m |
| 16 | 3:30:44.5 | +19:01:10 | Tau | 31.64 | 3h45m | 11h56m | 53 | 20h09m |
| 21 | 3:50:39.0 | +20:06:47 | Tau | 31.61 | 3h36m | 11h57m | 54 | 20h18m |
| 26 | 4:10:47.3 | +21:03:50 | Tau | 31.58 | 3h29m | 11h57m | 55 | 20h26m |
| 31 | 4:31:08.0 | +21:51:48 | Tau | 31.55 | 3h23m | 11h58m | 56 | 20h33m |

Соединения Луны с планетами и яркими звездами и конфигурации Луны и планет (UT)

| Май | | Май | |
|-----|----|-----------------------------|------------------------------------|
| d | h | d | h |
| 1 | 6 | Луна макс к северу (28.6) | ЛУНА В ФАЗЕ ПОСЛЕДНЕЙ ЧЕТВЕРТИ |
| 2 | 15 | Венера 2.1N от Нептуна | 22 16 Сатурн 2.6S от Луны |
| 3 | 0 | Поллукс 2.1N от Луны | 22 19 Нептун 2.0S от Луны |
| 4 | 0 | Марс 2.0S от Луны | 23 21 Венера 3.6S от Луны |
| 4 | 13 | ЛУНА В ФАЗЕ ПЕРВОЙ ЧЕТВЕРТИ | 24 23 Меркурий 0.1S от Урана |
| 5 | 20 | Регул 1.8S от Луны | 26 1 Луна в перигее |
| 6 | 6 | Плутон в стоянии | 26 13 Уран 4.7S от Луны |
| 10 | 8 | Спика 0.4N от Луны | 26 20 Меркурий 4.6S от Луны |
| 11 | 0 | Луна в апогее | 27 3 НОВОЛУНИЕ |
| 12 | 16 | ПОЛНОЛУНИЕ | 28 13 Юпитер 5.2S от Луны |
| 14 | 4 | Антарес 0.3N от Луны | 28 16 Луна макс к северу (28.5) |
| 15 | 18 | Луна макс к югу (-28.5) | 30 4 Меркурий в верхнем соединении |
| 17 | 23 | Уран в соединении | 30 9 Поллукс 2.3N от Луны |
| 18 | 12 | Плутон 0.4N от Луны | Покр |

АСТРОНОМИЧЕСКИЕ СОБЫТИЯ МЕСЯЦА

Избранные астрономические события месяца (время всемирное): 1 мая - Луна ($\Phi = 0,18+$) проходит точку максимального склонения к северу от небесного экватора, 1 мая - максимальная южная либрация Луны по широте $6,7^\circ$, 2 мая - Венера проходит в 2 градусах севернее Нептуна, 3 мая - максимальная восточная либрация Луны по долготе $7,7^\circ$, 4 мая - Луна ($\Phi = 0,44+$) близ Марса и рассеянного звездного скопления Ясли (M44), 4 мая - Луна в фазе первой четверти, 5 мая - Марс проходит в полградуса севернее рассеянного звездного скопления Ясли (M44), 5 мая - Луна ($\Phi = 0,62+$) близ Регула, 6 мая - максимум действия метеорного потока эта Аквариды (ZHR= 40) из созвездия Водолея, 7 мая - Луна ($\Phi = 0,81+$) в нисходящем узле своей орбиты, 10 мая - Луна ($\Phi = 0,95+$) проходит близ Спика (покрытие при видимости в акватории Тихого океана), 11 мая - Луна ($\Phi = 0,97+$) в апогее своей орбиты на расстоянии 406245 км от центра Земли, 12 мая - полнолуние, 14 мая - покрытие Луной ($\Phi = 0,98-$) Антареса (при видимости на юге Южной Америки), 15 мая - максимальная северная либрация Луны по широте $6,6^\circ$, 15 мая - Луна ($\Phi = 0,91-$) проходит точку максимального склонения к югу от небесного экватора, 17 мая - Уран в соединении с Солнцем, 19 мая - максимальная западная либрация Луны по долготе $7,0^\circ$, 20 мая - Луна в фазе последней четверти, 22 мая - Луна ($\Phi = 0,30-$) в восходящем узле своей орбиты, 22 мая - Луна ($\Phi = 0,26-$) близ Сатурна и Нептуна, 23 мая - Луна ($\Phi = 0,15-$) близ Венеры, 24 мая - Меркурий проходит в 7 угловых минутах южнее Урана, 26 мая - Луна ($\Phi = 0,02-$) в перигее своей орбиты на расстоянии 359023 км от центра Земли, 26 мая - Луна ($\Phi = 0,01-$) близ Меркурия, Урана и рассеянного звездного скопления Плеяды (не видно из-за близости к Солнцу), 27 мая - новолуние, 28 мая - максимальная южная либрация Луны по широте $6,6^\circ$, 28 мая - Луна ($\Phi = 0,03+$) близ Юпитера, 28 мая - Луна ($\Phi = 0,04+$) проходит точку максимального склонения к северу от небесного экватора, 30 мая - Меркурий в верхнем соединении с Солнцем, 31 мая - Луна ($\Phi = 0,23+$) проходит севернее рассеянного звездного скопления Ясли (M44).

Солнце движется по созвездию Овна до 14 мая, а затем переходит в созвездие Тельца и остается в нем до конца месяца. Склонение дневного светила постепенно увеличивается, а продолжительность дня быстро растет от 15 часов 23 минут в начале месяца до 17 часов 09 минут в конце мая. С 22 мая в вечерние астрономические сумерки сливаются с утренними (до 22 июля). Эти данные справедливы для широты Москвы, где полуденная высота Солнца за май месяц возрастет с 49 до 56 градусов. Чем выше к северу, тем продолжительность ночи короче. На широте Мурманска, например, темное небо можно будет наблюдать лишь в конце лета. Наблюдения пятен и других образований на поверхности дневного светила можно проводить в телескоп или бинокль и даже невооруженным глазом (если пятна достаточно крупные). **Но нужно помнить, что визуальное изучение Солнца в телескоп или другие оптические приборы нужно обязательно (!) проводить с применением солнечного фильтра** (рекомендации по наблюдению Солнца имеются в журнале «Небосвод» <http://astronet.ru/db/msg/122232>).

Луна начнет движение по небу мая в созвездии Тельца при фазе $0,14+$ близ Юпитера. 1 мая при фазе $0,18+$ лунный серп перейдет в созвездие Близнецов. 3 мая Луна перейдет в созвездие Рака уже при фазе $0,37+$. 4 мая Луна ($\Phi = 0,44+$) будет наблюдаться близ Марса рассеянного звездного скопления Ясли (M44), а затем примет фазу первой четверти, перейдя в этот же день в созвездие Льва при фазе $0,54+$. 5 мая Луна ($\Phi = 0,62+$) пройдет близ Регула, а 7 мая при фазе $0,8+$ перейдет в созвездие Девы. 10 мая Луна ($\Phi = 0,95+$) покроет Спика при видимости в акватории Тихого океана. 11 мая лунный диск ($\Phi = 0,99-$) перейдет в созвездие Весов. Здесь ночное светило 12 мая примет фазу полнолуния, а 13 мая при фазе $0,99-$ достигнет созвездия Скорпиона. В этом созвездии 14 мая Луна при фазе $0,98-$ покроет Антарес при видимости на юге Южной Америки. В этот же день ночное светило ($\Phi = 0,96-$) перейдет в созвездие Змееносца, а 15 мая - в созвездие Стрельца уже при фазе $0,92-$. 18 мая лунный овал ($\Phi = 0,74-$) перейдет в созвездие Козерога, а 20 мая при фазе $0,52-$ вступит в созвездие Водолея, где в этот день примет фазу последней четверти. 22 мая лунный серп при фазе $0,3-$ перейдет в созвездие Рыб, и будет наблюдаться на вечернем небе близ Сатурна и Нептуна при фазе около $0,26-$. 23 мая Луна пройдет севернее Венеры при фазе $0,15-$, а 24 мая перейдет в созвездие Овна уже при фазе $0,09-$. 26 мая тонкий лунный серп при фазе $0,01-$ достигнет созвездия Тельца, где в этот день сблизится с Меркурием, Ураном и Плеядами. Это интересное сближение не будет доступно для наблюдений из-за близости к Солнцу. 27 мая в созвездии Тельца Луна примет фазу новолуния, а 28 мая пройдет севернее Юпитера при фазе $0,03+$. В этот же день Луна ($\Phi = 0,04+$) перейдет в созвездие Близнецов, где пробудет до 30 мая, когда при фазе $0,17+$ перейдет в созвездие Рака. Здесь 31 мая Луна ($\Phi = 0,23+$) пройдет севернее рассеянного звездного скопления Ясли (M44) и закончит свой путь по небу мая при фазе $0,29+$.

Большие планеты Солнечной системы. Меркурий движется в одном направлении с Солнцем по созвездию Рыб, 12 мая переходя в созвездие Овна, а 23 мая - в созвездие Тельца. Быстрая планета находится на утреннем небе до 30 мая, когда пройдет верхнее соединение с Солнцем и перейдет на вечернее небо. Меркурий уменьшает элонгацию от 26 до 1 градуса к концу месяца. Блеск Меркурия увеличивается от 0m до $-2,4m$. Видимый диаметр Меркурия уменьшается от 6 до 5 угловых секунд. Фаза планеты увеличивается от 0,8 до 1. В телескоп виден небольшой овал, переходящий в диск.

Венера перемещается прямым движением по созвездию Рыб. Планета видна на утреннем небе. 23 мая близ Венеры пройдет Луна. Угловое расстояние планеты от Солнца увеличивается от 41 до 46 градусов к западу от Солнца. Видимый диаметр планеты составляет 37 - 24", а фаза изменяется от 0,29 до 0,49 при максимальном блеске около $-4,6m$. В телескоп наблюдается серп без деталей.

Марс перемещается в одном направлении с Солнцем по созвездию Рака, 25 мая переходя в созвездие Льва. Загадочную планету можно найти на вечернем небе. 4 мая близ Марса пройдет Луна. Блеск Марса уменьшается от $+0,9m$ до $+1,3m$, а видимый диаметр составляет около 6 секунд дуги. В телескоп наблюдается диск с некоторыми деталями на поверхности планеты.

Юпитер перемещается прямым движением по созвездию Тельца. Газовый гигант наблюдается на вечернем небе. 28 мая близ Юпитера пройдет Луна. Угловой диаметр самой большой планеты Солнечной системы составляет около 33" при блеске около $-2m$. Диск планеты различим даже в бинокль, а в небольшой телескоп на поверхности Юпитера видны полосы и другие детали. Четыре больших спутника видны уже в бинокль, а в телескоп в условиях хорошей видимости можно наблюдать тени от спутников на диске планеты, а также различные конфигурации спутников.

Сатурн имеет прямое движение, перемещаясь по созвездию Рыб. Планета находится на утреннем небе. 22 мая близ Сатурна пройдет Луна. Блеск планеты имеет значение слабее $+1m$ при видимом диаметре около 16". В небольшой телескоп можно наблюдать кольцо и спутник Титан, а также другие наиболее яркие спутники. Видимый наклон колец Сатурна составляет около 2 градусов.

Уран ($6m, 3,5''$) перемещается прямым движением по созвездию Тельца южнее звездного скопления Плеяды. Планета находится на вечернем небе до 17 мая, а затем проходит соединение с Солнцем и переходит на утреннее небо. 26 мая близ Урана пройдет Луна. Увидеть диск Урана (в период видимости) может телескоп от 80 мм в диаметре с увеличением более 80 крат и прозрачное небо. Невооруженным глазом планета может быть найдена темном небе при отсутствии Луны и наземных источников света (лучше всего в период противостояния). Блеск спутников Урана слабее 13m.

Нептун ($8m, 2,4''$) перемещается прямым движением по созвездию Рыб, близ звезды лямбда Psc ($4,5m$). Планета находится на утреннем небе. 22 мая близ Нептуна пройдет Луна. Найти планету в период видимости можно в бинокль с использованием звездных карт [Астрономического календаря на 2025 год](#). Диск планеты различим в телескоп от 100 мм в диаметре с увеличением более 100 крат (при прозрачном небе). Спутники Нептуна имеют блеск слабее 13m.

Из комет месяца расчетный блеск около 11m и ярче будут иметь, по крайней мере, две кометы: Wrooks (D/1886 K1) и Swift (D/1895 Q1). Первая при максимальном расчетном блеске слабее 11m движется по созвездию Весов. Вторая перемещается по созвездию Орла при максимальном расчетном блеске около 11m. Подробные сведения о других кометах месяца имеются на <http://aerith.net/comet/weekly/current.html>, а результаты наблюдений - на <http://195.209.248.207/>.

Среди астероидов месяца самой яркой будет Веста в созвездии Весов с блеском 5,6m при противостоянии с Солнцем 2 мая. Сведения о покрытиях звезд астероидами на <http://asteroidoccultation.com/IndexAll.htm>.

Долгопериодические переменные звезды месяца. Данные по переменным звездам (даты максимумов и минимумов) можно найти на <http://www.aavso.org/>.

Среди основных метеорных потоков 6 мая максимума действия достигнут эта Аквариды (ZHR= 40) из созвездия Водолея. Луна в период максимума близка к фазе первой четверти. Подробнее на <http://www.imo.net>.

Дополнительно в АК_2025 - <https://www.astronet.ru/db/msg/1942896>

Ясного неба и успешных наблюдений!